

II-6 破波の形態について

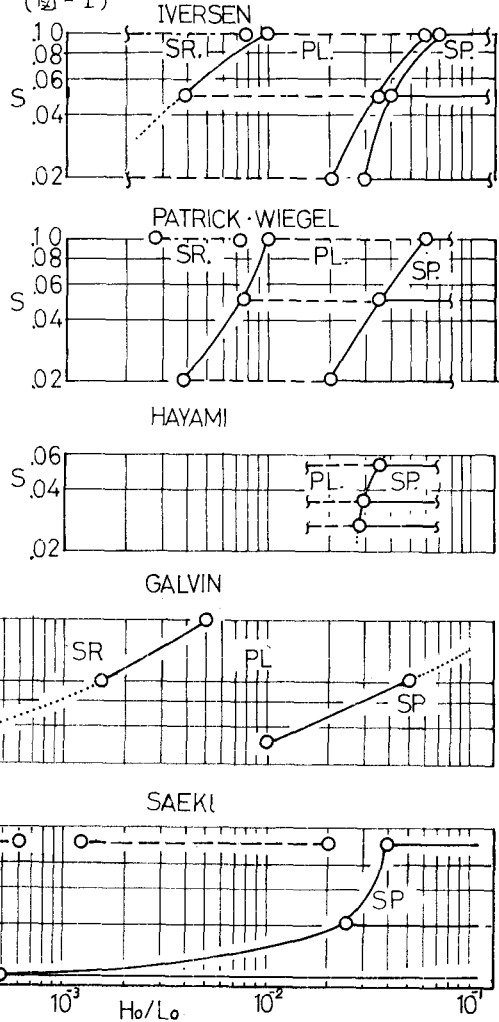
北大工 正員 ○佐伯 浩
 電々公社 正員 藤本 治聖
 北大工 正員 尾崎 晃

§1. 諸論 破波の形態については、今まで Iversen, Patrick-Wiegel, 遠木, Galvin, 横木・岩田等の研究が発表されていゝが、その結果は必ずしも一致していない。また実験されていゝ水底勾配(S)が $1/50$ より急勾配で行なわれてゐる。本研究は、今までの研究成果をまとめるとともに、我々が行なった $S = 1/20, 1/50, 1/90$ の場合の実験結果から、3つの破波形態 (Spilling Breaker, Plunging Breaker, Surging Breaker) の発生領域より完全な区分を行なつたものである。

§2. 実験装置・実験方法 実験は長さ 24m , 幅 0.6m , 深さ 1.0m の鋼フレーム両面ガラス張り水槽で行なつた。傾斜面は、できるだけ水底摩擦を減じるためにアクリライトを用ひてゐる。波高の測定は、抵抗線式波高計を用い、破波の形態は目視観測 + 16mm カメラの併用で行なわれた。

§3. 実験結果 実験は水底勾配(S)が $1/20, 1/50, 1/90$ で行なない、水深は斜面の Toe の一様水深部 $z = h = 10, 15.0, 20.0, 30.0, 40.0, 50.0\text{ cm}$ で用いた周波数は $0.8, 1.0, 1.5, 2.0, 3.0, 4.0\text{ sec}$ で得たデータ数は約 540 個であった。破波形態は大きく 3 に分かれたが、今回の我々の実験では無理に分ける事を避け、3つの破波形態の間に、遷移領域を設け、実際の破波に合わせようとした。実験結果の一覧を(図-2)に示す。横軸は沖波の波形勾配 (H_0/L_0) である。○印は完全な Spilling Breaker, ●印は完全な Plunging Breaker, □印は完全な Surging Breaker とし、○印は Spilling B. に近い遷移波形、□印は Plunging B. に近い遷移碎波形態を示す。(図-2)より $S = 1/20$ では $(H_0/L_0) \leq 0.04$ では完全な Spilling B. となり $0.0012 \leq (H_0/L_0) \leq 0.02$ では完全な Plunging B. となり、 $(H_0/L_0) \leq 0.0006$ で完全な Surging B. となる。この $S = 1/20$ における完全な Spilling B. の範囲は、Iversen, Patrick-Wiegel 等の非常によく似ている。Galvin は Spilling B. と Plunging B. の境界は我々の完全な Plunging B. の値に近い。Spilling B. と Plunging B. の境界は、Iversen, Patrick 等が完全な Spilling B. と遷移形に分かつたのに S に対して Galvin は完全な Plunging B. と遷移形に分けた事により、形態分類図が異なる事が明らかになった。 $S = 1/20$ における

(図-1)



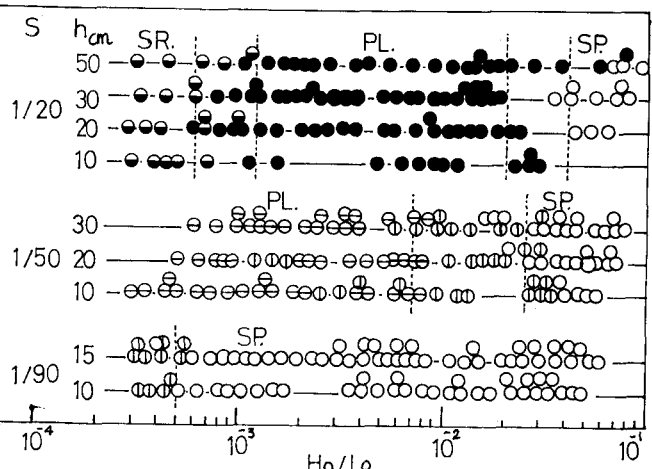
3 Surging B. では, Galvin の Plu-

(図-2)

nging B. × Surging B. の三分類は.
我々の完全な Surging B. の系に近い
事から Galvin の式めた三分類は完全な
Surging B. と見なしえよ。 $S=1/50$
では, 我々がだめた完全な Spilling B.
の値は Iversen や Patrick-Wiegel
の値に一致してゐるが, Galvin の値は
外とうすく我々の値より小さい。我々の
 $S=1/50$ の結果から, 完全な Spilling B.
の範囲は $(H_o/L_o) \geq 0.025 \sim 0.007$
 $\leq (H_o/L_o) \leq 0.025 \sim 0.007$ は Spilling B.
に近い Plunging B. であり, (H_o/L_o)

$\leq 0.007 \sim 0.005$ は Plunging B. に近い 破波である。
また(図-1)の Patrick 等の結果では, $S=1/50$ における
Surging B. × Plunging B. の境界を示めてい
るが, 我々の結果からは完全な Plunging B. は見
られないが, Patrick 等のこの値は, (図-2)の完全な
Spilling に近い plumping B. × 完全な plumping B. に
近い遷移形の境界に相当しているようである。 $S=1/90$
における $(H_o/L_o) \geq 0.0005 \sim 0.007$ は完全な Spilling
B. で, それ以下でも, 完全な Spilling B. に近い plun-
ging B. であった。以上の結果から, Iversen, Patrick
・Wiegel, Hayami, Galvin 等の結果と, 我々の結果が
完全な Spilling B., 完全な Plunging B., 完全な
Surging B. の範囲と遷移領域の範囲を示したものか
(図-3)である。今まで, 破波形態 $(H_o/L_o) \times (S)$ の関
係で各破波形態の領域を示したが, Galvin は, $S=1/10$,

1/20, 1/5 の実験結果から Offshore Parameter $(H_o/L_o \cdot S^2)$ のみで破波形態の分類が出来ることを示した。
さらに Garvin は, Inshore Parameter $(H_B / \sqrt{T^2 \cdot S})$ で, 破波形態の分類が出来ることを示したが, 我々の $S=1/50$, 1/90 の $T^2 - T$ では, Offshore および Inshore Parameter のみで分類ができる事が明らかとなつた。 Galvin の式めた, 二つの Parameter は $S \geq 1/20$ の急勾配にのみ適用できることである。 横本・岩田等は, Spilling B. × Plunging B. の分類を (h_B/L_o) のみで表わすことを示し, $(h_B/L_o) \geq 0.06 \sim 0.07$ Spilling B., $(h_B/L_o) \leq 0.06 \sim 0.07$ Plunging B. とした。しかしこの分類法も, Galvin の Parameter と同じように $S < 1/20$ では適用できない事が明るかとなつた。また, $S \geq 1/20 \sim 1/10$ は, (h_B/L_o) の分類を除くのを, Galvin の式めた Parameter より, S と (H_o/L_o) が最も $1/2$, (h_B/L_o) が決定できる事が, Galvin の式めた Parameter と横本等の式めた (h_B/L_o) は同一の意味である。



(図-3)

